

フラーレンを用いたペアイオンプラズマ 生成と応用に関する研究



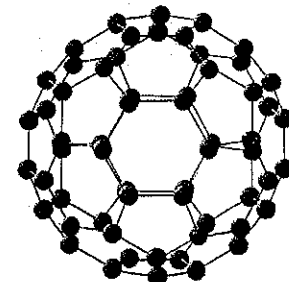
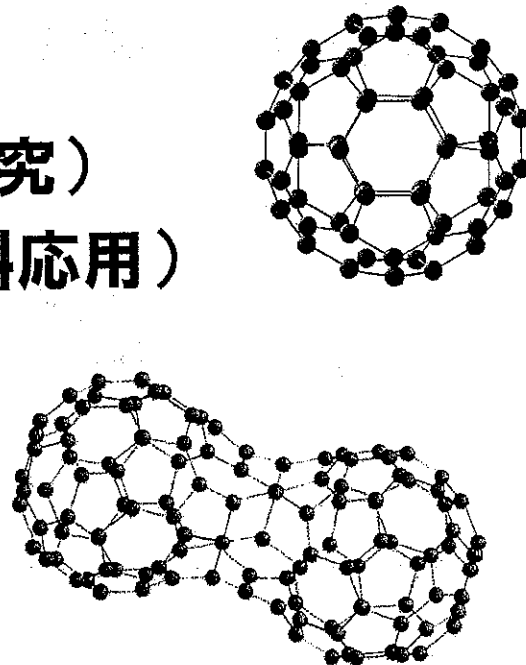
ECEI

大原 渡, 畠山 力三

東北大学大学院工学研究科・電子工学専攻

- 研究背景・目的
- ペアイオンプラズマ生成（物理研究）
- フラー倫ベース材料合成（材料応用）

E-mail: oohara@ecei.tohoku.ac.jp
<http://www.plasma.ecei.tohoku.ac.jp>



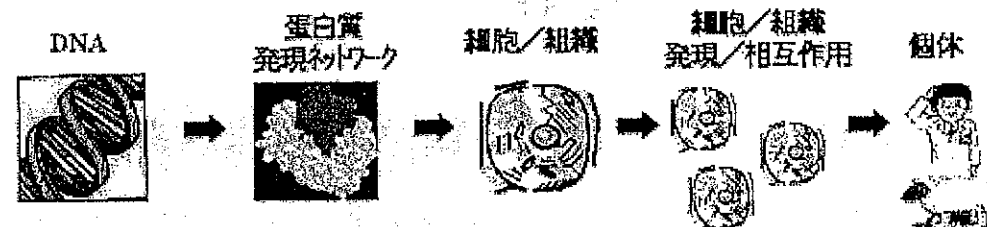
階層構造

生命科学分野

分子動力学スケール(蛋白質折りたたみ機構, 生体膜)

細胞スケール(生体維持)

個体スケール



プラズマ科学分野

電場構造・磁場構造の中で、プラズマ構成粒子の運動などに関連したミクросケールの物理から、流体運動や熱輸送などマクロスケールの物理まで、様々な時空間スケールの物理が存在しており、それらが複雑に絡み合っている。

1) 異なる階層間の相互作用

- ・異なる基礎方程式で記述される対象
- ・複数の階層間の情報交換を含む

流体運動や熱輸送など
(マクロスケール)



2) 同一階層で、異なる波長領域の波の相互作用

- ・同じ基礎方程式で記述される対象(同一階層)
- ・広い空間・時間ダイナミックレンジを有する

荷電粒子運動に関する現象
(ミクروسケール)

イオン系(セミミクروسケール)

電子系(ミクروسケール)

通常プラズマとペアプラズマ

通常プラズマ

電子と正イオンから構成されている。

(正イオン/電子) 質量比は高い。

$$(m_+/m_e = 10^3 \sim 10^5)$$

荷電粒子間の大きな質量差が、プラズマ集団現象に対して顕著な時空間非対称性をもたらし、これがミクросケールにおける時空間階層構造を生み出す。

ペアプラズマ

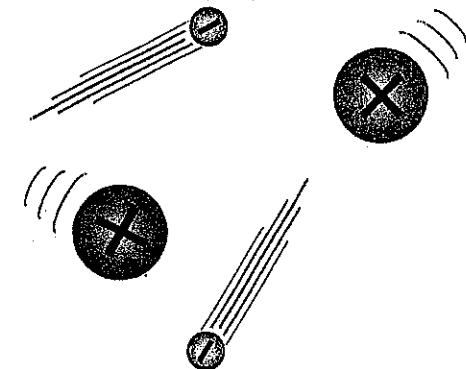
等質量正負荷電粒子から構成されている。

(正電荷粒子/負電荷粒子) 質量比が等しい。

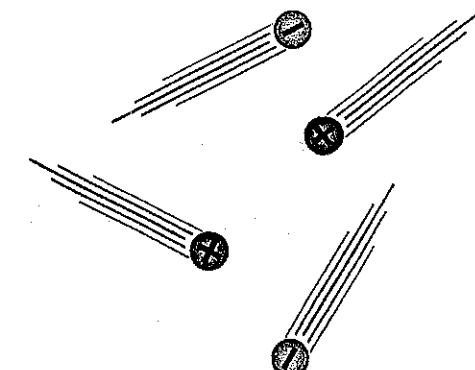
$$(m_+/m_- = 1)$$

正負荷電粒子集団現象に対して時空間対称性をもたらし、これが時空間階層構造の縮退をもたらす。

通常プラズマ



ペアプラズマ

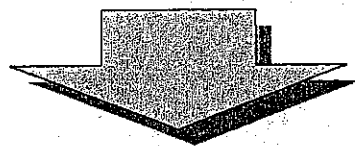


ペアプラズマの研究

高エネルギー・宇宙天文分野において、反物質物性研究の中でCPT対称性(物質・反物質の完璧な対称性)の真偽に関連して陽電子(positron)が注目された。電子と混合した電子-陽電子ペアプラズマが生成された。ペアプラズマ物性の実験・理論研究が行われた(1980年代後半～1990年代)。

電子-陽電子ペアプラズマ実験の問題点

- ・再結合による短いプラズマライフタイム
- ・プラズマ計測の困難さ



理論的研究が先行しており、実験的検証が進まない。

荷電粒子集団現象：
線形/非線形 波動伝搬特性
(荷電粒子自己無撞着電磁場を介する)

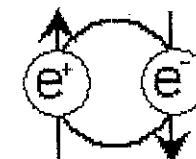
Positronium (Ps)

ortho-Ps



Lifetime: 140 ns

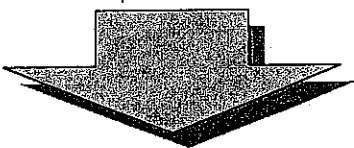
para-Ps



Lifetime: 0.13 ns

ペアイオンプラズマ

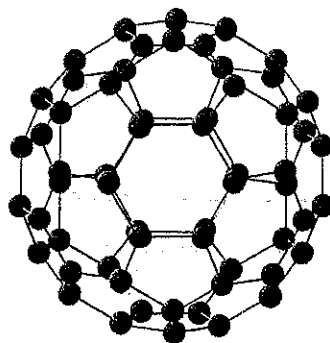
陽電子の取り扱いが実験研究を困難にしている。



取り扱い易いイオンのみから成るペアプラズマで実験研究を行う

正負イオン(C_{60}^+ , C_{60}^-)に成り易い
フラー・レン C_{60} に注目して、
これをイオン種としたペアイオンプラズマ
の生成を目指した。

- C_{60} をプラズマに適用した研究
 - 負イオンプラズマ研究で利用 (SF_6 より高質量数)
(東北大:平田, 畠山, 佐藤(徳))
 - 正イオンとして利用 (応用指向)
(茨城大:佐藤(直), 真瀬)



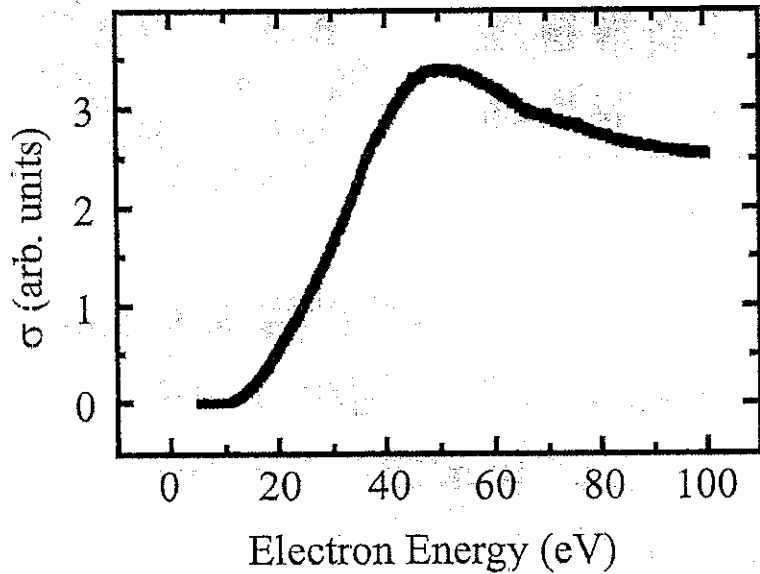
質量数 : 720 amu
質量誤差 : 10^{-6} - 10^{-4}

完全等質量ではない

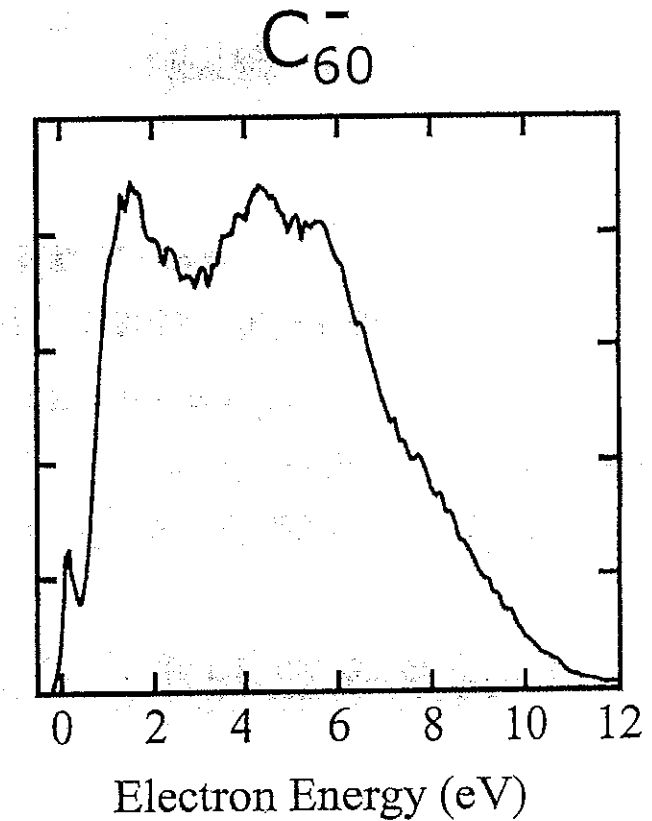


- 電子2個分の質量誤差
- 同位体の存在 (C^{12} , C^{13})

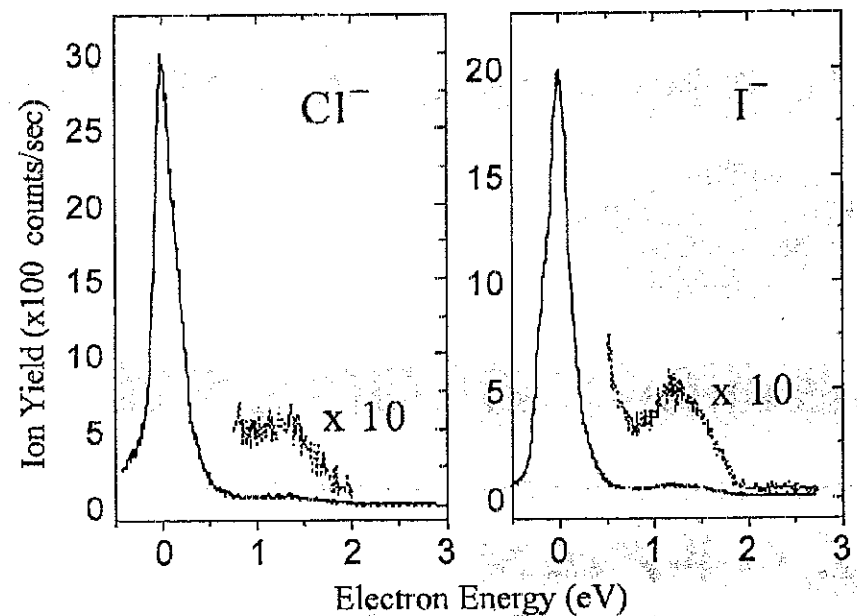
電子衝突・付着断面積



C_{60}^+



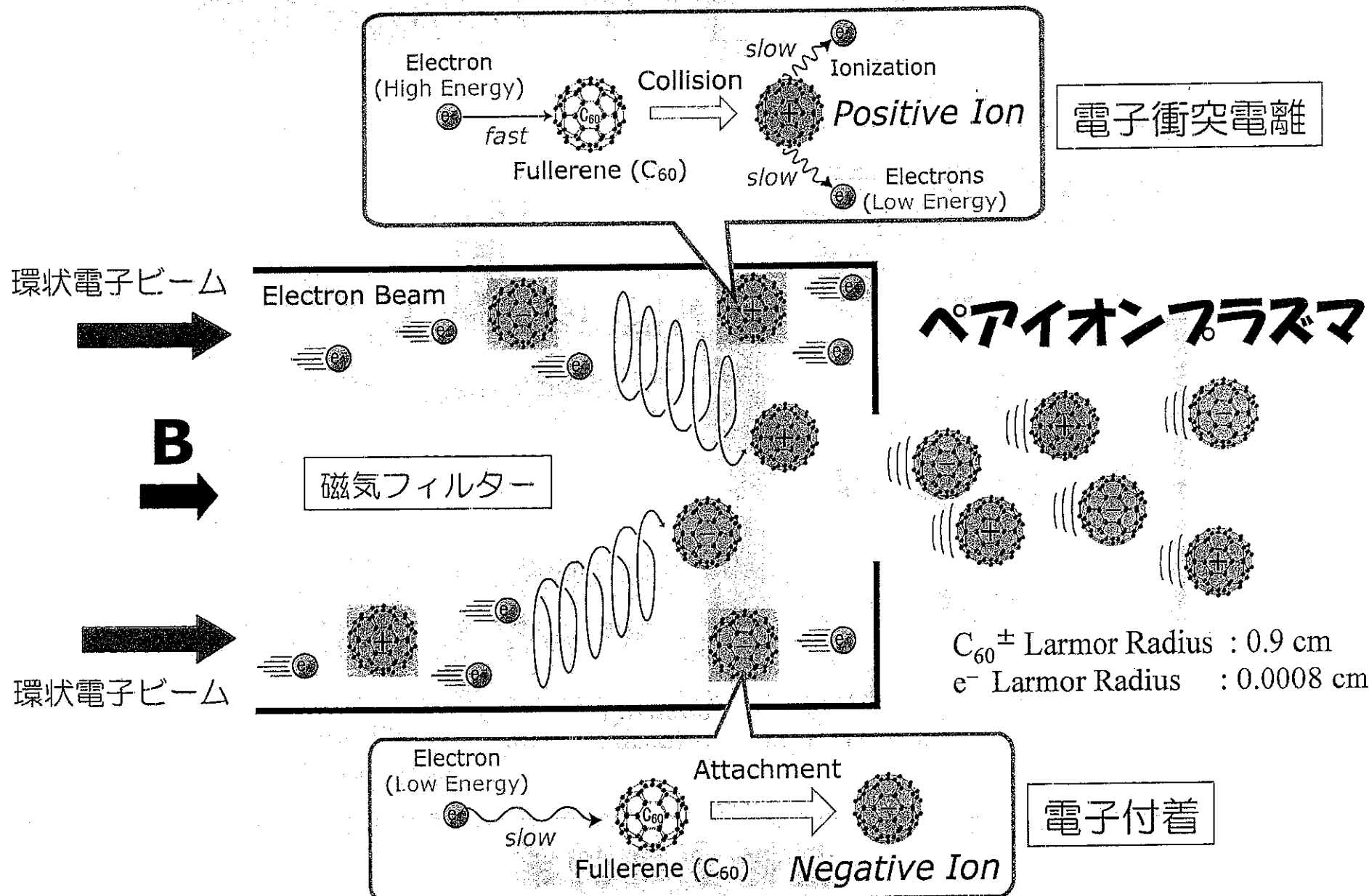
C_{60}^-



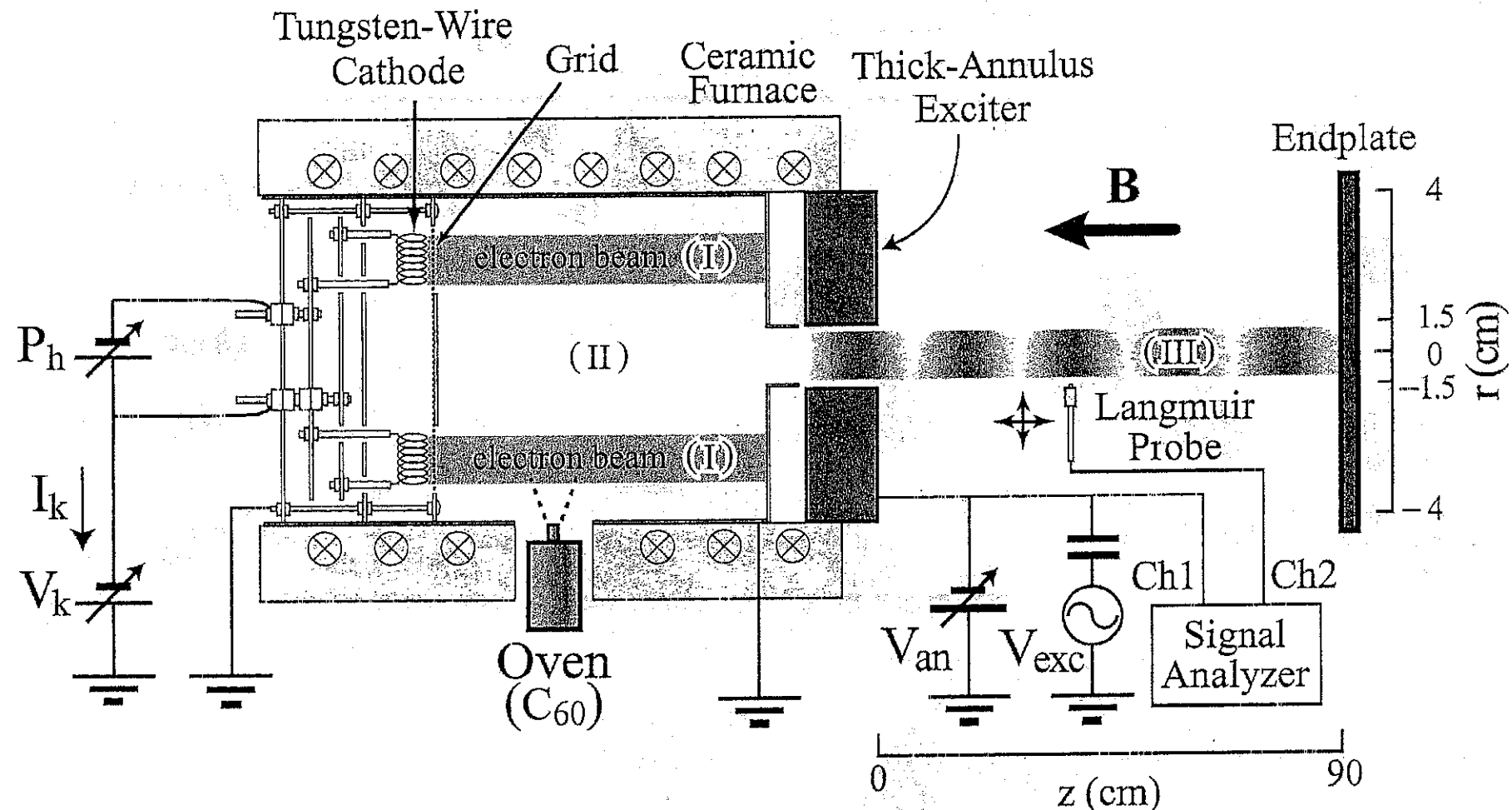
C_{60} の最大のメリットは
正負イオン共に成り易いこと

ペアイオンプラズマの生成方法

"Pair-Ion Plasma Generation using Fullerenes", W. Oohara and R. Hatakeyama, Physical Review Letters, 91 (2003) 205005.



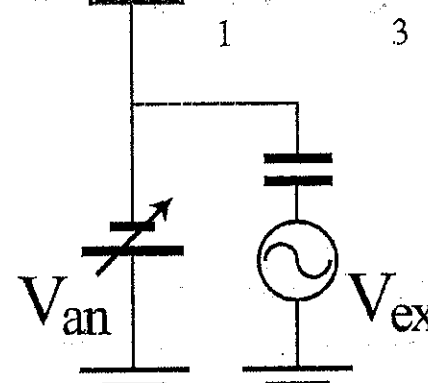
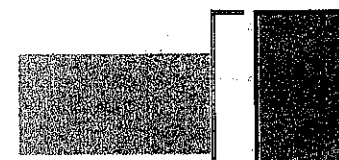
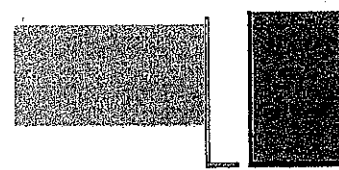
実験装置概要



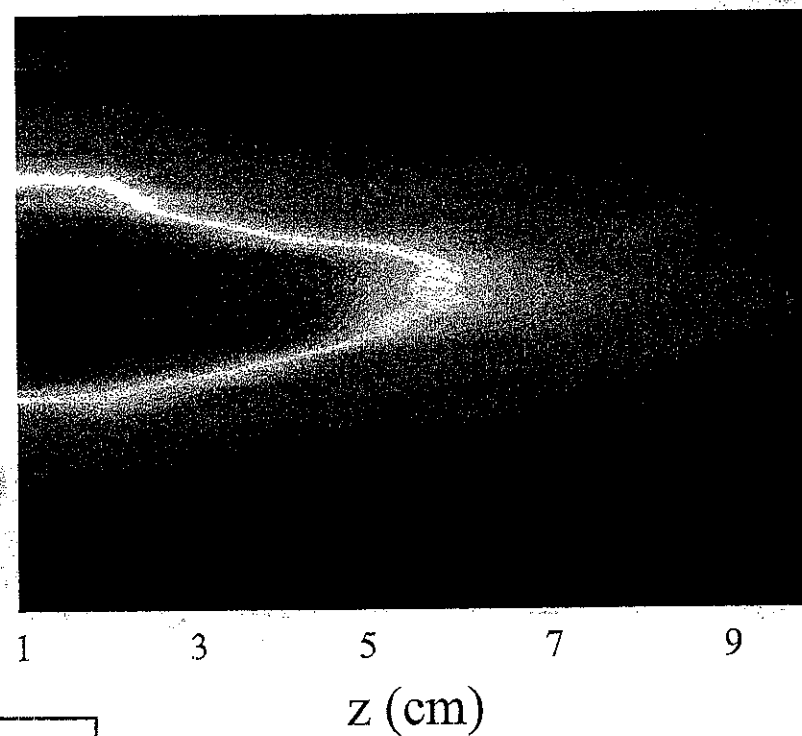
典型的な実験パラメータ

$P = 5 \times 10^{-4} \text{ Pa}$, $B = 0.3 \text{ T}$ (uniform), C_{60} (Purified > 99.5%)
 $n = 10^7 - 10^8 \text{ cm}^{-3}$, $T = 0.5 \text{ eV}$

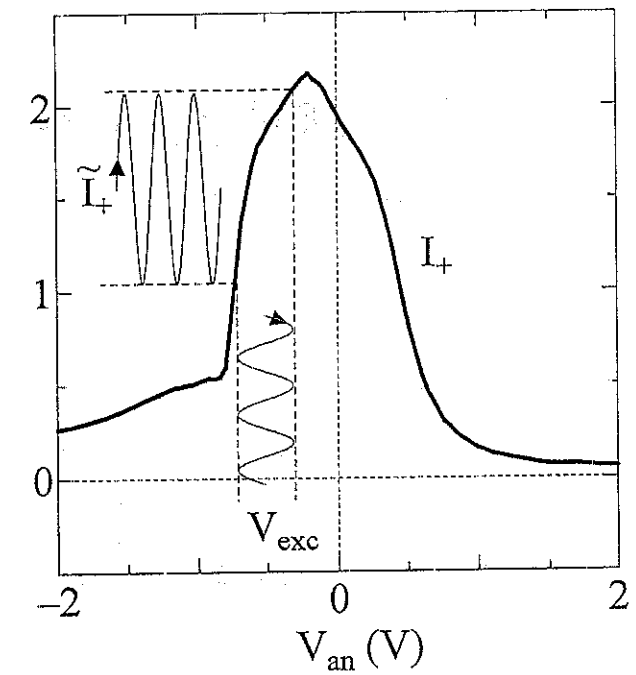
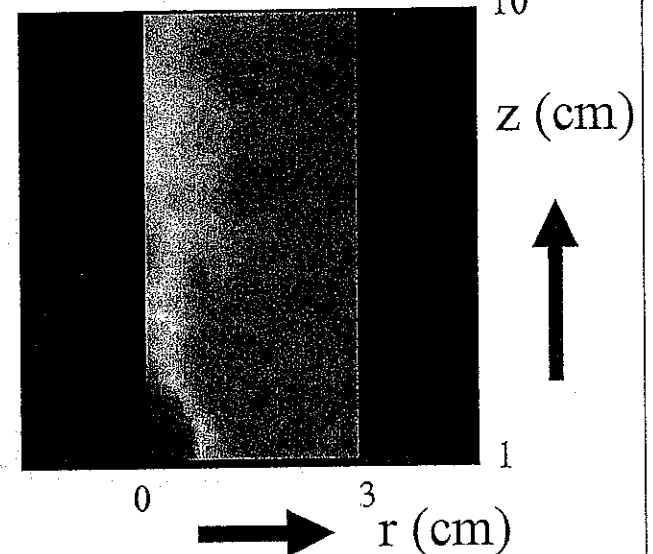
静電波動の励起



2D Static Plasma Profile



15 kHz



静電波動の種類

“Properties of Pair-Ion Plasmas using Fullerenes”, R. Hatakeyama and W. Oohara, Physica Scripta, T116 (2005) 101.

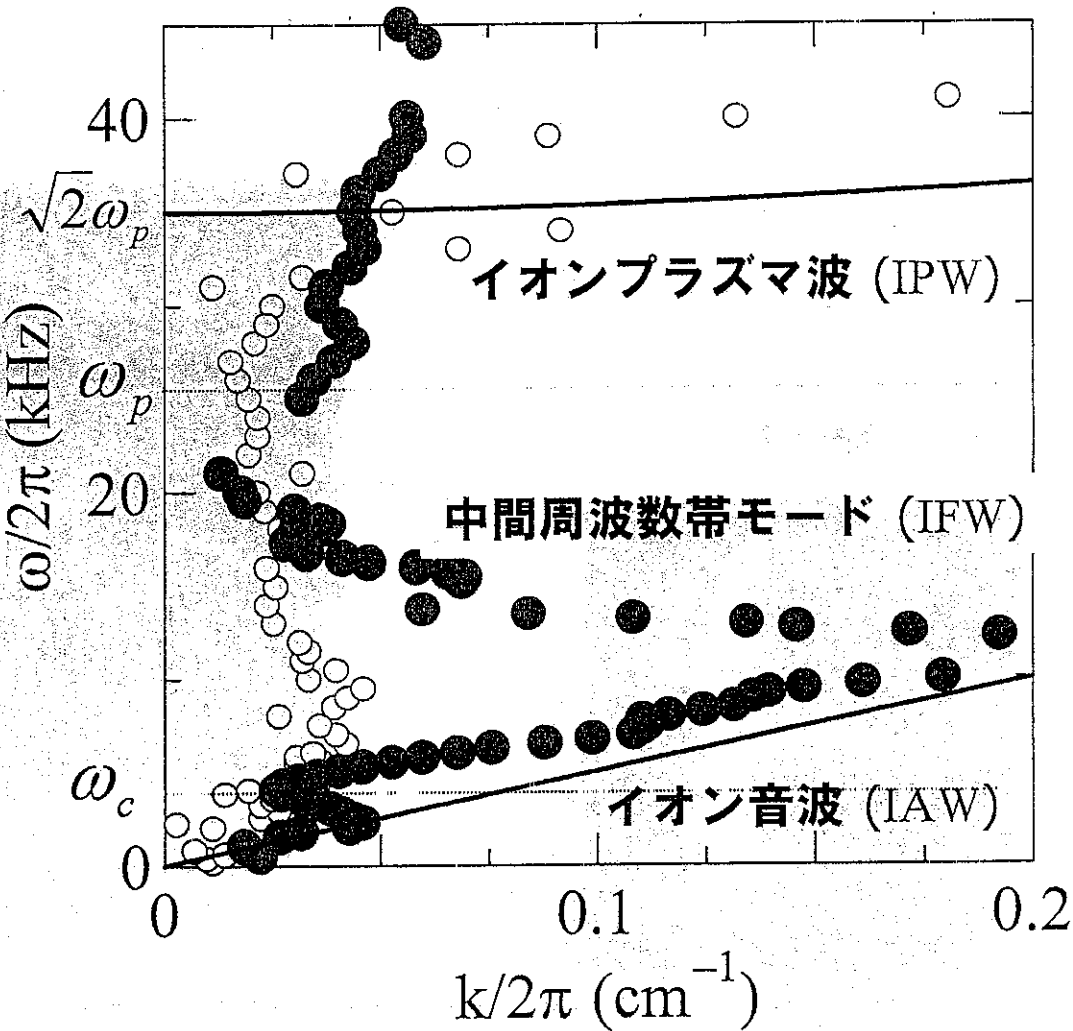
“Electrostatic Waves in a Paired Fullerene-Ion Plasma”, W. Oohara, D. Date, and R. Hatakeyama, Physical Review Letters, in press.

$$\omega^2 = C_S^2 k^2 + 2\omega_p^2$$

Ion Plasma Wave

$$\omega^2 = C_S^2 k^2$$

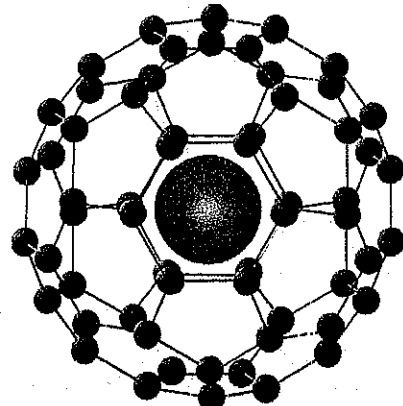
**Ion Acoustic Wave
(Thermal mode)**



フラー・レンベースの材料合成

イオン化された(活性状態の)フラー・レンを活用して、
大量合成を念頭においたフラー・レンベースの材料開発を行った。

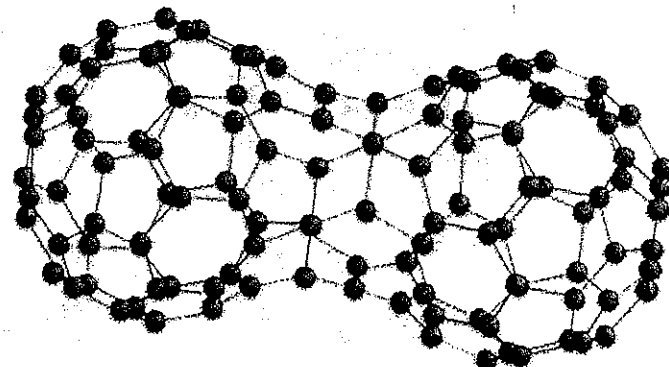
異原子・分子をフラー・レンに衝突させて
内包フラー・レンの合成



窒素原子内包の場合

擬似原子構造、長寿命不対電子スピン
スピニエレクトロニクス素子
量子コンピュータ

フラー・レン同士の衝突による
融合体(ダイマー)の合成



ナノサイズ磁性体となる可能性

フラーレンダイマーの合成

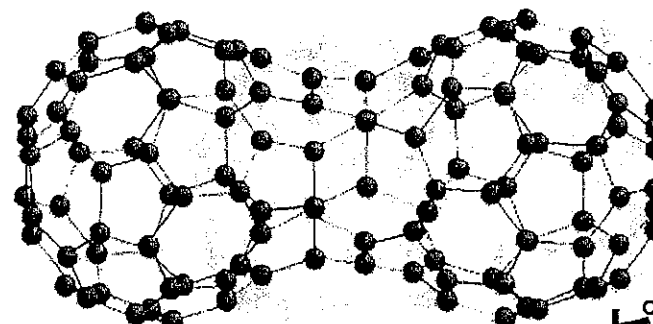
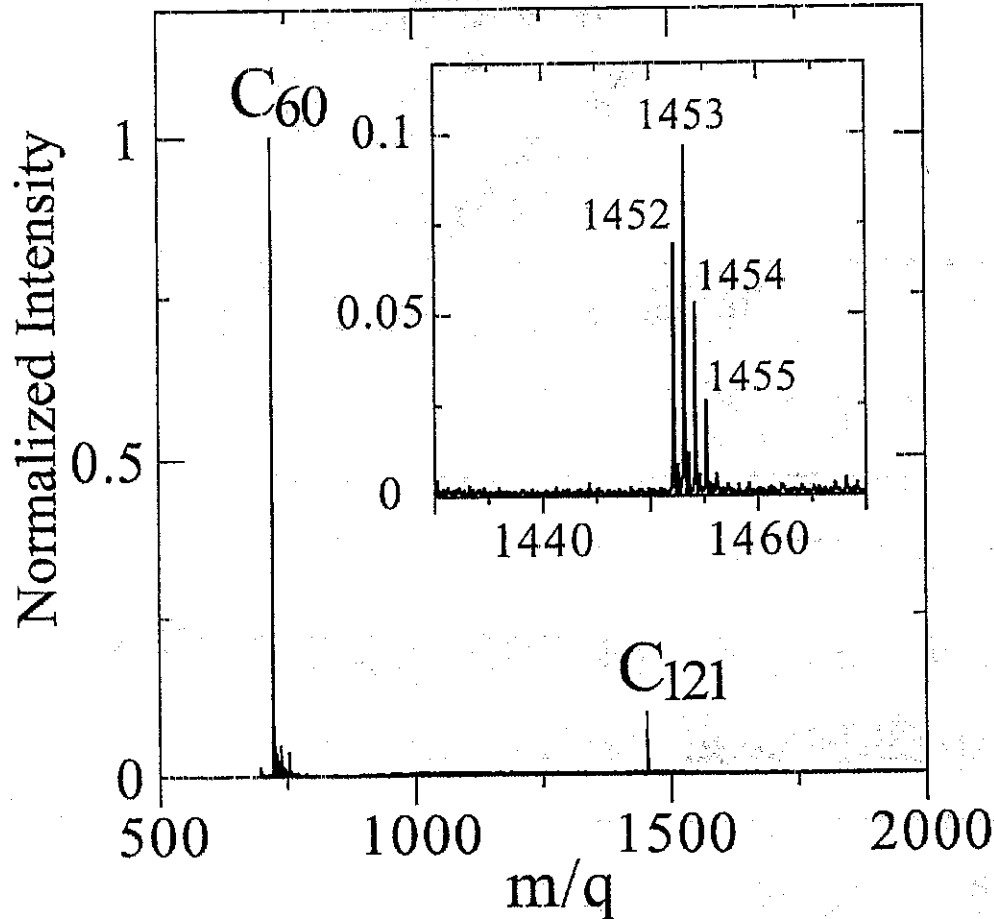
"Formation of Fullerene Dimers in Pair-Ion Plasma", W. Oohara, H. Iwata, D. Date, and R. Hatakeyama, Thin Solid Films, 475 (2005) 49-53.
"Pair-Ion Plasma Generation and Fullerene-Dimer Formation", W. Oohara and R. Hatakeyama, Thin Solid Films, 435 (2003) 280-284, 2003.

マトリックス支援

レーザ脱離飛行時間型質量分析

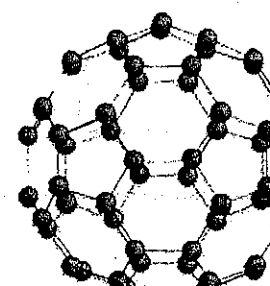
(MALDI-TOF MS)

$V_k = -120\text{ V}$, $V_a = -90\text{ V}$

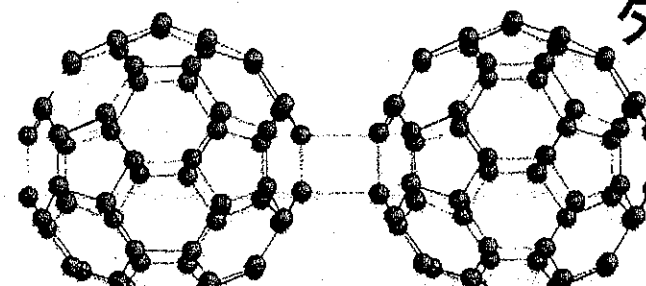


ピーナツ型

ダイマー(イメージ図)

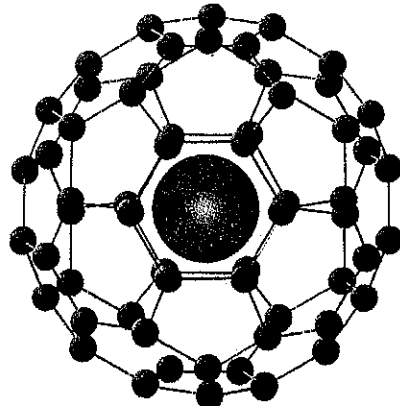
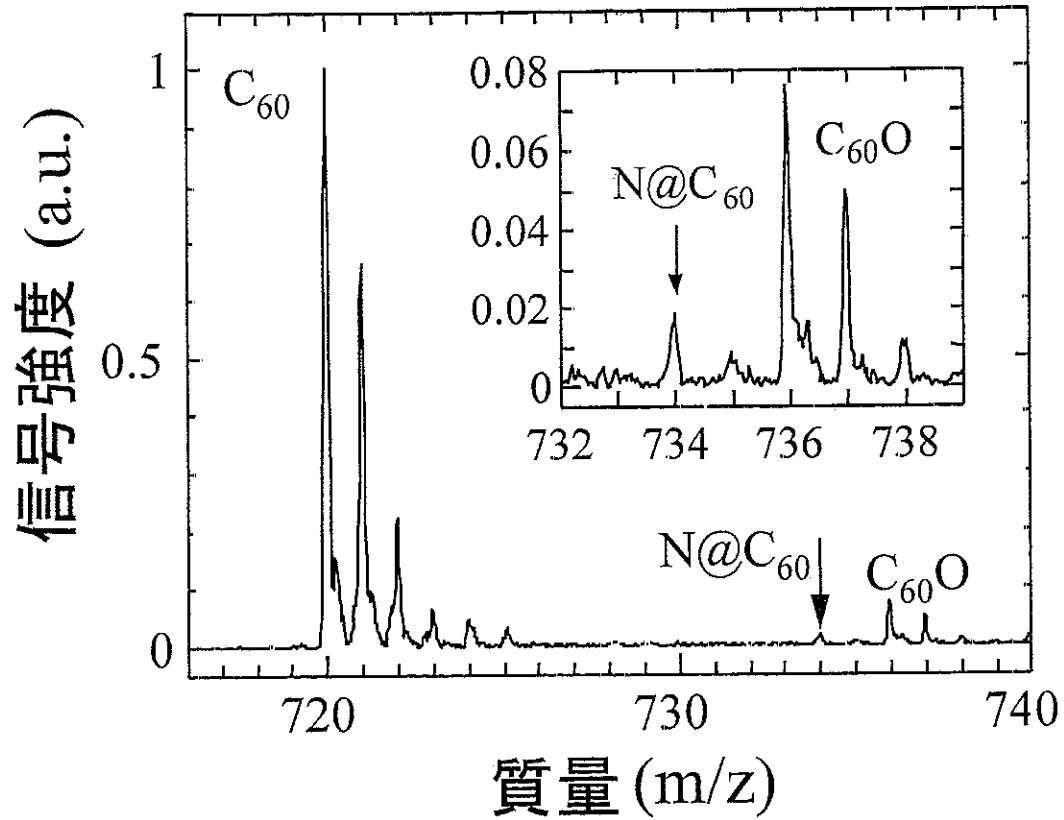


ダンベル型



Matrix: 9-nitroanthracene (223 amu)
Solvent: Toluene (92 amu)
TOF Mode: Negative-Ion Mode

窒素内包フラーレンの合成



更なる内包効率の
増加が今後の課題

MALDI-TOF MS

電子スピン共鳴分析(ESR)

